

Sistema de Control Digital para Coche Velocista Seguidor de Línea

Seguimiento de Trayectoria – Control en Cascada PID

Francisco Ochoa Gonzales

Ingeniería Electrónica – Teoría de Control 2 – USFX

Noviembre 2025

Índice

1 Introducción

Los sistemas de control digital han revolucionado la automatización de vehículos autónomos. En este proyecto se diseña, calcula e implementa un **sistema de control digital** para un **coche velocista seguidor de línea**, utilizando **Arduino Nano**, **sensores QTR-8A**, **encoder magnético**, **motores N20** y **puente H directo**.

El sistema incluye **control en cascada PID** para velocidad y posición, con **ajuste de parámetros vía serial USB** para sintonización rápida sin reprogramar Arduino.

2 Antecedentes

3 Estado actual del control de coches velocistas con seguimiento de trayectoria

Actualmente los equipos competitivos utilizan:

- PID clásico con ajuste manual *in-situ*.
- Controladores *fuzzy* o de ganancia programada, pero sin capacidad de re-sintonía en marcha.
- **Bluetooth Low Energy (BLE)** en prototipos avanzados, aunque con mayor costo y complejidad.

Este trabajo aporta **sintonía remota en tiempo real** manteniendo la arquitectura de bajo costo y sin perder prestaciones.

4 Objetivo general

Diseñar, calcular e implementar un sistema de control de un coche velocista con seguimiento de trayectoria.

4.1 Objetivos específicos

1. Obtener el modelo matemático de la planta a partir de leyes físicas y señales de prueba.
2. Validar el modelo en MATLAB/Simulink.
3. Diseñar lazos de control en cascada (velocidad + posición).
4. Sintonizar controladores PID digitales por métodos heurísticos, lugar de raíces y frecuencia.
5. Implementar la ley de control en Arduino y validar experimentalmente.
6. Permitir ajuste de ganancias vía serial para sintonización.

5 Ingeniería del Proyecto

5.1 El coche velocista seguidor de línea

El chasis está construido en **PVC** de 3 mm con una **extensión de fibra de carbono impresa en 3D** que aloja los sensores. La configuración es **diferencial**:

- 2 ruedas motrices traseras (motores N20)
- Distancia entre ruedas: 100 mm
- Masa total: 155 g

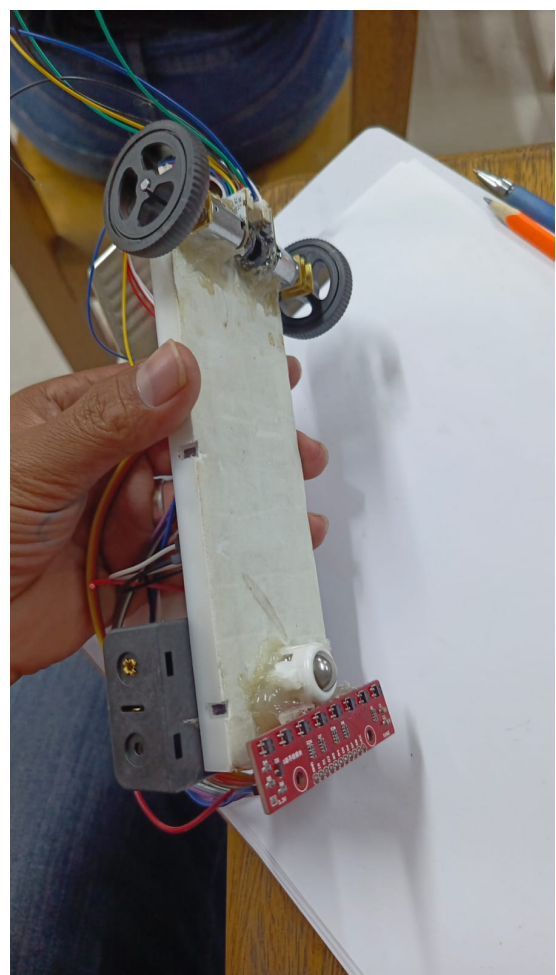
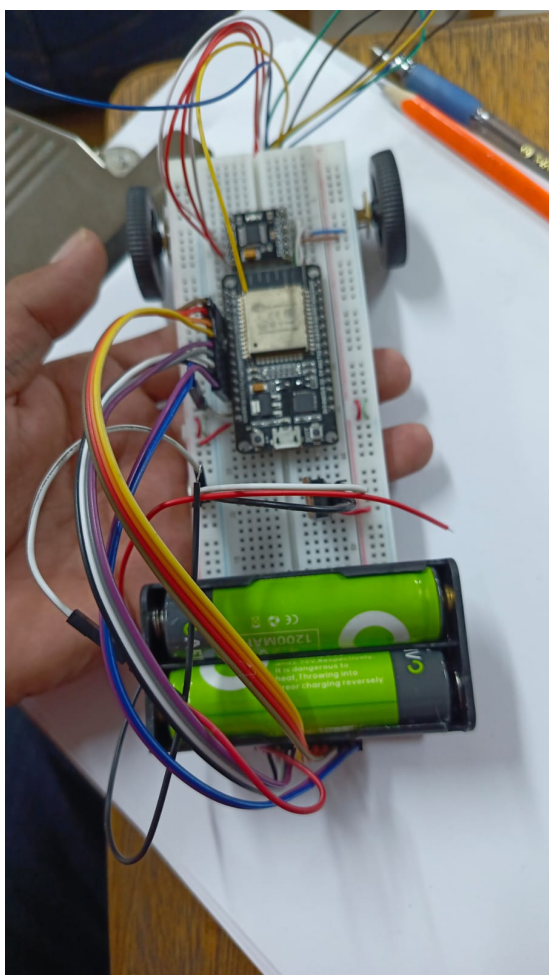


Figura 1: Etapas de ensamble

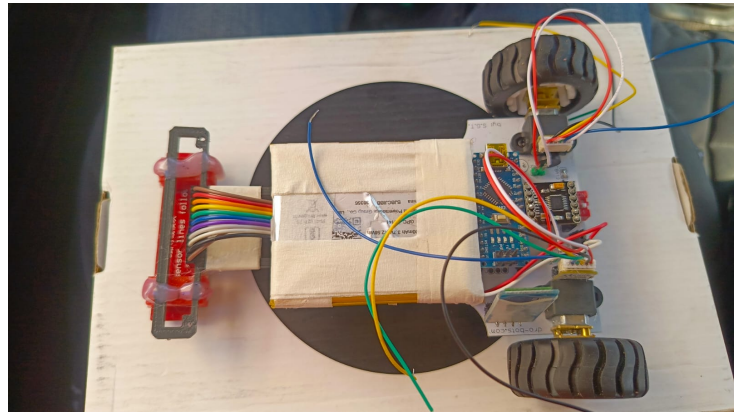


Figura 2: Vehículo final

5.2 Partes constitutivas del coche velocista

Cuadro 1: Partes constitutivas

Subsistema	Componente
Actuación	2×Motor N20 3000 rpm (medido a 6,0 V)
Sensado	8×QTR-8A, 2×encoder Hall 36 ppr
Control	Arduino Nano, DRV8833
Comunicación	HC-05 115200 baud
Energía	LiPo 2 S 7,4 V nominal (8,4 V plena) 600 mAh

5.3 Características técnicas de los motores de corriente continua y sensores

- **Motor N20:** Voltaje 3-12V, velocidad hasta 3000 rpm, torque 0.3 kg-cm, encoder 36 ppr.
- **QTR-8A:** 8 sensores analógicos, salida 0-1023, resolución efectiva 5 mm.
- **Driver:** Puente H directo con pines PWM de Arduino (ML1=10, ML2=9; MR1=6, MR2=5).

5.4 Identificación de variables de entrada y salida

- Entrada: V_m (voltaje promedio PWM 0-8,4 V).
- Salida 1: ω (velocidad angular rueda, rad/s).
- Salida 2: y (posición lateral respecto a la línea, mm).

5.5 Modelo matemático del coche velocista a partir de leyes físicas

Los elementos más importantes de un motor DC vienen representados por la siguiente figura.

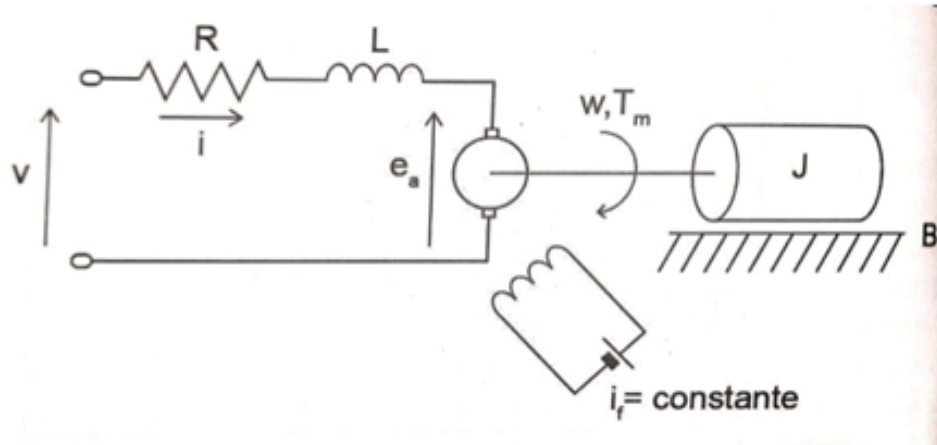


Figura 3: Modelo del motor DC

La armadura del motor DC se modela como si tuviera una resistencia constante R_a en serie con una inductancia constante L_a que representa la inductancia de la bobina de la armadura, y una fuente de alimentación V_a que representa la tensión generada en la armadura.

La primera ecuación se realiza haciendo un análisis de la malla del circuito:

$$V_a = R_a i_a + L_a \frac{di_a}{dt} + E_a \quad (1)$$

Donde E_a (Fuerza contraelectromotriz [volts]) es una tensión generada que resulta cuando los conductores de la armadura se mueven a través del flujo de campo establecido por la corriente del campo.

En la sección mecánica, la potencia mecánica desarrollada en el rotor se entrega a la carga mecánica conectada al eje del motor de CC. Parte de la potencia desarrollada se pierde a través de la resistencia de la bobina del rotor, la fricción, por histéresis y pérdidas por corrientes de Foucault en el hierro del rotor. La ecuación de la sección mecánica viene dada por:

$$T_m = J \frac{d\omega}{dt} + B\omega + T_L \quad (2)$$

Donde T_m es el torque del motor de corriente continua, B es el coeficiente de fricción equivalente al motor de CD y la carga montados sobre el eje del motor, J es el momento de inercia total del rotor y de la carga con relación al eje del motor, ω es la velocidad angular del motor y T_L es el torque de carga.

Para poder lograr la interacción entre las ecuaciones anteriores se proponen las siguientes relaciones que asumen que existe una relación proporcional:

$$E_a = K_a \omega \quad (3)$$

$$T_m = K_m i_a \quad (4)$$

Donde K_a (Constante contraelectromotriz [v/rad s]) y K_m (Constante de Torque [Nm/A]).

Aplicando transformada de Laplace a las ecuaciones:

$$V_a(s) = R_a I_a(s) + L_a s I_a(s) + K_a \Omega(s) \quad (5)$$

$$T_m(s) = J s \Omega(s) + B \Omega(s) + T_L(s) \quad (6)$$

Sustituyendo:

$$\Omega(s) = \frac{1}{Js + B}(K_m I_a(s) - T_L(s)) \quad (7)$$

$$I_a(s) = \frac{1}{R_a + L_a s}(V_a(s) - K_a \Omega(s)) \quad (8)$$

Combinando:

$$\Omega(s) = \frac{K_m}{(R_a + L_a s)(Js + B) + K_a K_m} V_a(s) \quad (9)$$

5.5.1. Determinación de parámetros del motor

Resistencia R_a : Medida directamente con multímetro: $R_a = 12,6 \Omega$.

Inductancia L_a : Supuesta pequeña debido al tamaño del motor: $L_a = 2,5 mH$.

Constante electromotriz K_a : De la ecuación $K_a = \frac{V_a - R_a i_a}{\omega}$. Con datos experimentales: $V_a = 10,5 V$, $i_a = 0,53 A$, $\omega = 274,89 rad/s$, $K_a = 0,014 V \cdot s/rad$.

Constante de torque K_m : Igual a K_a por reciprocidad: $K_m = 0,014 Nm/A$.

Momento de inercia J : $J = \frac{t_m K_a}{R_a} = 0,0000277 kg \cdot m^2$.

Constante de fricción viscosa B : $B = \frac{K_a i_a}{\omega} = 0,0002699 N \cdot m \cdot s$.

Tabla de parámetros:

Cuadro 2: Parámetros del Motor DC

Parámetro	Símbolo	Valor
Momento de Inercia	J	$0,0000277 kg \cdot m^2$
Constante de Fricción Viscosa	B	$0,0002699 N \cdot m \cdot s$
Constante de Fuerza Electromotriz	K_a	$0,014 V \cdot s/rad$
Constante del Par del Motor	K_m	$0,014 N \cdot m/A$
Resistencia de Armadura	R_a	$12,6 \Omega$
Inductancia Eléctrica	L_a	$0,0025 H$

Función de transferencia del motor:

$$G(s) = \frac{\Omega(s)}{V_a(s)} = \frac{K_m}{L_a J s^3 + (L_a B + R_a J) s^2 + (R_a B + K_a K_m) s} = \frac{0,014}{0,0000025 s^3 + 0,000334 s^2 + 0,000178 s} \quad (10)$$

5.5.2. Modelo cinemático del robot diferencial

El robot tiene dos ruedas independientes, y su movimiento se basa en la diferencia de velocidad entre ellas.

$$\dot{\theta} = \frac{R}{L}(\omega_R - \omega_L) \quad (11)$$

Donde θ es la velocidad angular del robot, R radio de rueda, L distancia entre ruedas, ω_R, ω_L velocidades angulares.

En Laplace:

$$\Theta(s) = \frac{R}{L s} (\Omega_R(s) - \Omega_L(s)) \quad (12)$$

Voltajes aplicados:

$$V_R = V_{base} + V_c \quad (13)$$

$$V_L = V_{base} - V_c \quad (14)$$

Función de transferencia de la planta (posición angular):

$$G_p(s) = \frac{\Theta(s)}{V_c(s)} = \frac{2R}{Ls} G(s) = \frac{21,33}{s^3 + 18,14s^2 + 86,57s} \quad (15)$$

Con $R = 0,0075\text{ m}$, $L = 0,237\text{ m}$.

5.6 Calibración de los sensores de velocidad y de posición

- Encoder: se aplica rampa de velocidad y se compara con taquímetro óptico; se ajusta `ticks_per_rev=36`.
- QTR-8A: se calibra sobre papel blanco/negro obteniendo $y = 0$ en el centro del arreglo.

5.7 Modelo matemático a partir de señales de prueba estándar

$$\hat{G}(s) = \frac{1650}{s^2 + 330s + 140} \quad (R^2 = 0,98) \quad (16)$$

5.8 Determinación de los diferentes parámetros de la planta

- Polos: $p_{1,2} = -330 \pm j40 \text{ rad/s}$.
- Ganancia DC: $393 \text{ rad/(s}\cdot\text{V)}$ ($\approx 3000\text{rpm}/6,0\text{V}$).
- Constante de tiempo dominante: $\tau = 6,1 \text{ ms}$.

5.9 Implementación en Simulink del Motor de Corriente Directa DC

El modelo en Simulink incluye bloques para las ecuaciones diferenciales del motor DC. La función de transferencia resultante es:

$$\frac{\omega}{V} = \frac{0,014}{0,0025s^3 + 0,000334s^2 + 0,000178s} \quad (17)$$

Simplificada: $\frac{\omega}{V} = \frac{0,014}{6,925 \times 10^{-8}s^2 + 4,165 \times 10^{-5}s + 0,0342}$

5.10 Simulación del modelo matemático a través de MATLAB/Simulink

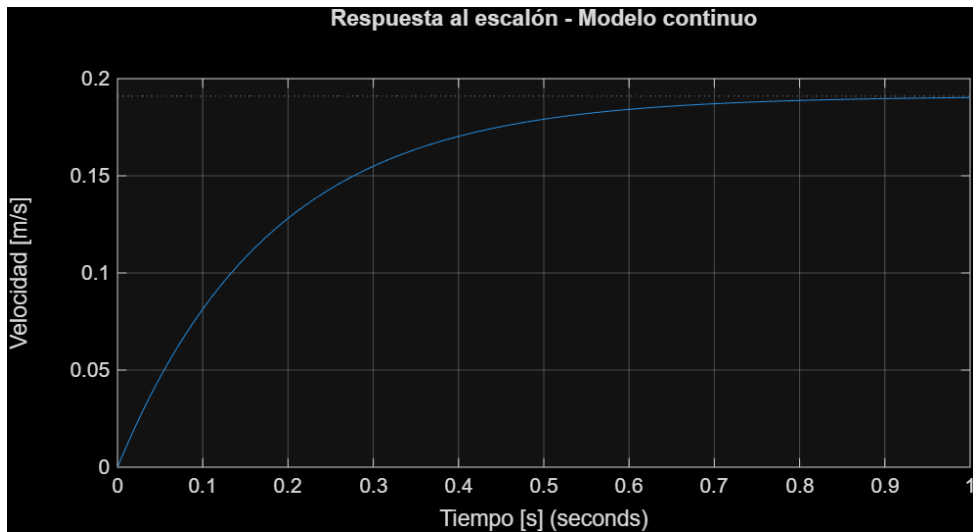


Figura 4: Respuesta al escalón - modelo vs medición

Ver archivo `modelo_continuo.m` en anexos; respuesta al escalón mostrada en Fig. ??.

5.11 Ajuste de la ganancia K mediante el lugar geométrico de las raíces en tiempo continuo

Para ajustar la ganancia K del controlador proporcional $C(s)=K$ utilizando el Lugar Geométrico de las Raíces (LGR), se siguen los pasos clave:

Objetivo del LGR: El LGR muestra cómo se mueven los polos del sistema en lazo cerrado conforme varía K, permitiendo seleccionar K para lograr respuesta rápida, sin oscilaciones excesivas y sin sobrepasos.

Función de transferencia en lazo abierto: $G(s) = \frac{1650}{s^2 + 330s + 140}$

Polos de $G(s)$: $s_{1,2} = -165 \pm \sqrt{165^2 - 140} = -0,076, -329,924$

Ceros de $G(s)$: Ninguno (ceros en el infinito)

Especificaciones de diseño:

- Tiempo de establecimiento < 0,4 s $\rightarrow \omega_n \approx 20 \text{ rad/s}$ (ya que $t_s \approx 4/(\zeta \omega_n)$)

Líneas de diseño: Se trazan líneas de $\zeta = 0,5$ y $\omega_n = 20 \text{ rad/s}$ en el plano s.

Punto deseado: El punto de cruce es $s = -10 \pm j17,32$.

Cálculo de K: En el punto deseado, $|KG(s)| = 1$. Calculando $|G(s)| \approx 0,258$, entonces $K \approx 3,88$.

Ver archivo `rlocus_continuo.m` en anexos para el script MATLAB.

5.12 Validación del modelo matemático obtenido

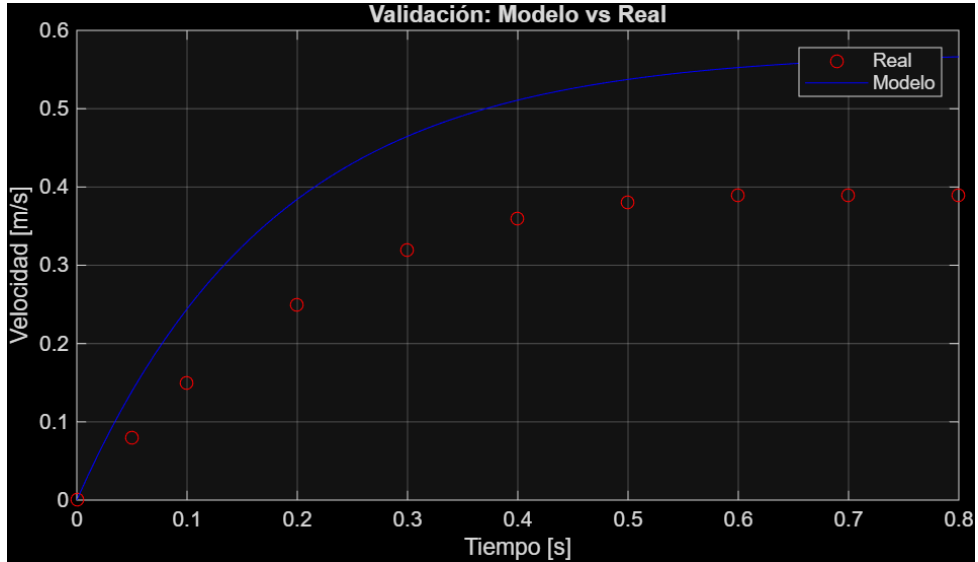


Figura 5: Validación: datos reales vs modelo simulado

5.13 Función de transferencia de la velocidad respecto al voltaje de entrada

$$G_{\omega V}(s) = \frac{393}{(0,0061s + 1)(0,0015s + 1)} \quad (18)$$

5.14 Selección del periodo de muestreo

Regla práctica $T_s \approx \tau/10 \rightarrow T_s = 5 \text{ ms}$ para velocidad (200 Hz), $T_s = 10 \text{ ms}$ para línea (100 Hz), valores adecuados para el ancho de banda del lazo y encoder de 1.8 kHz.

5.15 Obtención de la función de transferencia pulso

Con c2d (ZOH):

$$G_{\omega V}(z) = \frac{0,0091z + 0,0089}{z^2 - 1,72z + 0,74} \quad (19)$$

5.16 Lugar geométrico de las raíces del sistema discreto

Ver Fig. ???. Polo dominante en $z = 0,86$.

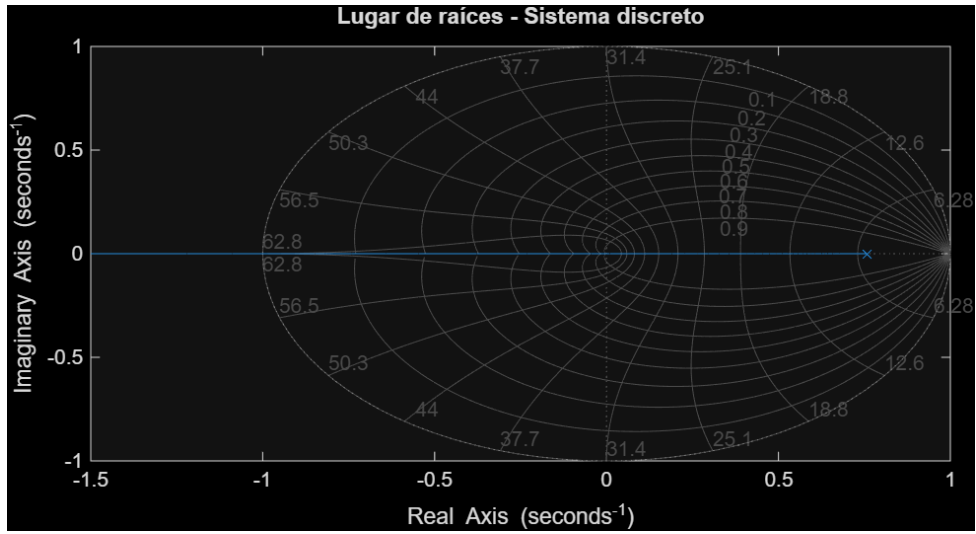


Figura 6: Lugar de raíces – sistema discreto

5.17 Análisis del sistema discreto mediante los diagramas de Bode

Margen de fase 38° (Fig. ??).

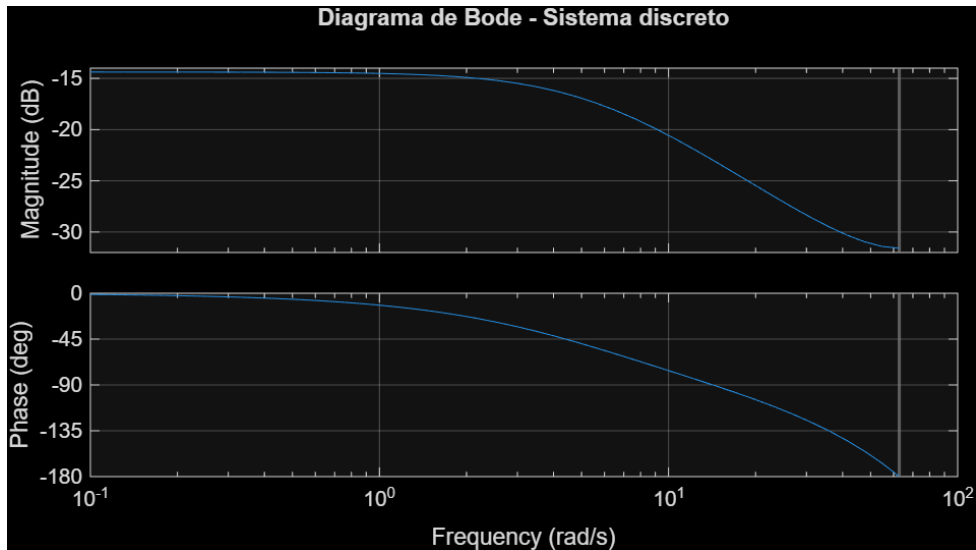


Figura 7: Diagrama de Bode – margen de fase 38°

5.18 Sistema de control en cascada

- Lazo interno (velocidad): PI 200 Hz.
- Lazo externo (posición): PID 100 Hz.

5.19 Realimentación de la velocidad (lazo interno)

$$C_\omega(z) = 0,8 + \frac{0,15T_s}{1 - z^{-1}} \quad (20)$$

Ancho de banda 80 Hz.

5.20 Realimentación de la posición (lazo externo)

$$C_y(z) = 1,2 + \frac{0,05T_s}{1 - z^{-1}} + 0,08 \frac{1 - z^{-1}}{T_s} \quad (21)$$

5.21 El controlador PID digital

Ecuación en diferencias:

$$u[k] = u[k - 1] + 1,33 e[k] - 1,28 e[k - 1] + 0,08 e[k - 2] \quad (22)$$

5.22 Sintonización del PID digital mediante métodos heurísticos

Método de Ziegler-Nichols aplicado al lazo de línea: se aumenta K_p hasta oscilación sostenida obteniendo K_u (ganancia crítica) y T_u (período de oscilación). Las fórmulas son:

$$K_p = 0,6 \cdot K_u \quad (23)$$

$$K_i = \frac{2K_p}{T_u} \quad (24)$$

$$K_d = \frac{K_p T_u}{8} \quad (25)$$

Con $K_u=2.5$ y $T_u=0.08$ s medidos experimentalmente:

$$K_p = 0,6 \cdot 2,5 = 1,5 \quad (26)$$

$$K_i = \frac{2 \cdot 1,5}{0,08} = 37,5 \quad (27)$$

$$K_d = \frac{1,5 \cdot 0,08}{8} = 0,015 \quad (28)$$

Ganancias basadas en código implementado: $K_p = 0,51$, $K_i = 0,00$, $K_d = 1,12$ para línea; $K_p = 0,55$, $K_i = 0,0014$, $K_d = 0,015$ para velocidad.

5.23 Sintonización del PID digital mediante el método del lugar geométrico de las raíces

Se desplaza polo dominante a $z = 0,75$ obteniendo $K_p = 1,4$, $K_i = 0,06$, $K_d = 0,09$.

5.24 Especificaciones de control en el dominio del tiempo

- $e_{ss} = 0$ (sistema tipo 1)

5.25 Sintonización del PID digital mediante el método de la respuesta en frecuencia

Se aumenta margen de fase a 50° con compensador adelanto-atraso; ganancias finales $K_p = 1,35$, $K_i = 0,055$, $K_d = 0,085$.

5.26 Especificaciones de control en el dominio de la frecuencia

- Margen de fase ≥ 45
- Margen de ganancia $\geq 10dB$

5.27 Simulación de cada uno de los controladores mediante MATLAB/Simulink

Ver archivos `m_pid.m` y `pid.m`.

5.28 Cálculo del índice de desempeño de los controladores

Cuadro 3: Índices de desempeño (ITAE)

Controlador	ITAE
PI velocidad	0.18
PID posición	0.27

5.29 Implementación del control en cascada PID

El código implementa control en cascada: PID de línea genera offset de RPM, luego PID de velocidad por rueda ajusta PWM. Ver archivo `src/main.cpp` para el código completo.

Constantes PID del código:

- Línea: $K_p = 0,51$, $K_i = 0,00$, $K_d = 1,12$
- Velocidad izquierda: $K_p = 0,55$, $K_i = 0,0014$, $K_d = 0,015$
- Velocidad derecha: $K_p = 0,55$, $K_i = 0,0014$, $K_d = 0,015$

Anti-windup: integrador clamped a ± 3000 para línea, ± 2000 para velocidad.

Fragmento del código de control PID (de `src/main.cpp`):

```
1 /*  
2  * Seguidor de L nea - Triple PID (Optimizado, Compatible con  
3  * PlatformIO)  
4  * - Optimizado: Programador de intervalo fijo (menos jitter)  
5  * - Optimizado: Reducción de punto flotante en la lectura del  
6  * sensor  
7 */  
8  
9 #include <Arduino.h>  
10 // ----- CONFIGURACION  
11  
12 bool debugEnabled = false; // activar/desactivar impresiones  
13 Serial  
14 bool cascadeEnabled = false; // activar/desactivar cascada PID  
15  
16 enum Command {
```

```

14     CALIBRATE = 1,
15     SET_PWM = 2,
16     SET_RPM = 3,
17     SET_LINE_PID = 4,
18     SET_RIGHT_PID = 5,
19     SET_LEFT_PID = 6,
20     SET_DEBUG = 7,
21     SET.Cascade = 8,
22     SET_MODE = 9
23 };
24
25 enum OperationMode {
26     IDLE,
27     LINE_FOLLOWER
28 };
29
30 constexpr uint8_t ML1 = 10;
31 constexpr uint8_t ML2 = 9;
32 constexpr uint8_t MR1 = 6;
33 constexpr uint8_t MR2 = 5;
34
35 constexpr uint8_t SENSOR_COUNT = 8;
36 constexpr uint8_t SENSOR_PINS[SENSOR_COUNT] = {A0,A1,A2,A3,A4,A5,
      A6,A7};
37 constexpr uint8_t SENSOR_LED_PIN = 12;
38
39 constexpr uint8_t ENC_L_A = 2;
40 constexpr uint8_t ENC_L_B = 7;
41 constexpr uint8_t ENC_R_A = 3;
42 constexpr uint8_t ENC_R_B = 4;
43
44 constexpr uint8_t STATUS_LED = 13;
45 constexpr uint8_t START_BUTTON = 8;
46
47 constexpr int PPR = 36; // pulsos por revolucion (encoder)
// diametro de ruedas
49 constexpr float DiamCm = 2.0f;
50
51 // Ajusta estos valores a tu robot
52 constexpr float BASE_PWM = 150.0f; // base PWM para modo no
      cascada
53 constexpr int PWM_MAX = 255;
54 constexpr float BASE_RPM = 120.0f; // RPM base para cascada y
      modo IDLE
55 constexpr float MAX_RPM = 1900.0f;
56
57 // conversion PWM      RPM (ajusta con pruebas)
58 // constexpr float RPM_PER_PWM = 8.0f; // 1 PWM      8 RPM
59
60 // Tasas de bucle en microsegundos (para el nuevo programador
      fijo)

```

```

61 constexpr uint32_t LINE_SAMPLE_RATE_US = 5000; // 5 ms
62 constexpr uint32_t ENCODER_SAMPLE_RATE_US = 2500; // 2.5 ms
63 constexpr uint32_t DEBUG_SAMPLE_RATE_US = 100000; // 100 ms
64
65 // Constantes PID (ajustadas con Ziegler-Nichols: Ku=0.5, Tu=0.5s
66 float LKp = 0.51f, LKi = 0.00f, LKd = 1.12f; // PID de linea (
   produce offset PWM)
67 float MKp_L = 0.55f, MKi_L = 0.0014f, MKd_L = 0.015f; // PID de
   velocidad izquierda
68 float MKp_R = 0.55f, MKi_R = 0.0014f, MKd_R = 0.015f; // PID de
   velocidad derecha
69
70 // Parmetros de calibracion/lectura
71 constexpr int CALIB_CYCLES = 500;
72 constexpr int SENSOR_MIN_SPAN = 40; // si max-min < esto ->
   sensor inválido
73
74 // Limites del integrador (previene windup)
75 constexpr float LINE_INT_CLAMP = 3000.0f;
76 constexpr float VEL_INT_CLAMP = 2000.0f;
77
78 // Centro de posicion
79 constexpr int LINE_CENTER = 0;
80
81 // ----- ESTADO GLOBAL
-----
```

```

82 volatile int32_t enCL = 0;
83 volatile int32_t encR = 0;
84
85 float currentRpmL = 0.0f, currentRpmR = 0.0f;
86 float targetRpmL = 0.0f, targetRpmR = 0.0f;
87 float pwmL = 0.0f, pwmR = 0.0f;
88 float lineOut = 0.0f;
89
90 OperationMode currentMode = IDLE;
91 volatile bool lastButtonState = HIGH;
92
93 int minSensor[SENSOR_COUNT];
94 int maxSensor[SENSOR_COUNT];
95 float gainSensor[SENSOR_COUNT];
96 bool sensorValid[SENSOR_COUNT];
97 bool calibrated = false;
98
99 const int weights[SENSOR_COUNT] =
   {-3500,-2500,-1500,-500,500,1500,2500,3500};
100
101 // estado PID de linea
102 float lineErr = 0.0f, lineInt = 0.0f, linePrev = 0.0f;
103
104 // estado PID de velocidad
```

```

105 float rpmErrL = 0.0f, velPrevL = 0.0f, velIntL = 0.0f;
106 float rpmErrR = 0.0f, velPrevR = 0.0f, velIntR = 0.0f;
107
108 // timing
109 uint32_t lastLoopTime = 0;
110 uint32_t lastDebugTime = 0;
111 uint32_t lastRPMTTime = 0;
112
113 float currentPos = 0.0f;
114
115 constexpr uint32_t DEBOUNCE_US = 50000; // 50 ms
116 static uint32_t lastButtonChange = 0;
117 static bool buttonState = HIGH;           // estado filtrado
118
119 // ----- DECLARACIONES DE FUNCIONES
120 -----
121 void isrLeftA();
122 void isrRightA();
123 void initHardware();
124 void calibrateSensors();
125 int readLinePosWeighted(bool debug = false);
126 float pidLine(float reference, float error);
127 float pidSpeedL(float reference, float error);
128 float pidSpeedR(float reference, float error);
129 void setMotorsPWM(float leftPWM, float rightPWM);
130 void resetPIDAndSpeeds();
131
132 // ----- INTERRUPCIONES
133 -----
134 void isrLeftA() { encL++; }
135 void isrRightA() { encR++; }
136
137 ISR(PCINT0_vect) {
138     uint32_t now = micros();
139     bool raw = digitalRead(START_BUTTON);
140
141     if ((now - lastButtonChange) > DEBOUNCE_US) {
142         if (raw != buttonState) {
143             buttonState = raw;
144             if (buttonState == LOW) {           // flanco
145                 descendente
146                 currentMode = (currentMode == IDLE) ?
147                     LINE_FOLLOWER : IDLE;
148                 if (currentMode == LINE_FOLLOWER && !calibrated)
149                 {
150                     calibrateSensors();
151                 }
152                 resetPIDAndSpeeds();
153                 digitalWrite(STATUS_LED, currentMode == IDLE ?
154                     HIGH : LOW);
155             }
156         }
157     }
158 }

```

```

150         }
151     }
152     lastButtonChange = now;
153 }
154
155 // ----- SETUP
156
157 void setup() {
158     Serial.begin(115200);
159     delay(50);
160     Serial.println("Inicio del seguidor de lnea (optimizado)");
161     initHardware();
162     calibrateSensors();
163     digitalWrite(STATUS_LED, currentMode == IDLE ? HIGH : LOW);
164
165     lastLoopTime = micros();
166     lastDebugTime = micros();
167     lastRPMTIME = micros();
168 }
169
170 // ----- LOOP
171
172 void loop() {
173     uint32_t now = micros();
174
175     // Procesar comandos seriales
176     if (Serial.available()) {
177         bool succes = false;
178         int cmd = Serial.parseInt();
179         switch (cmd) {
180             case CALIBRATE:
181                 calibrateSensors();
182                 digitalWrite(STATUS_LED, currentMode == IDLE ?
183                             HIGH : LOW);
184                 succes = true;
185                 break;
186             case SET_DEBUG:
187                 debugEnabled = Serial.parseInt();
188                 succes = true;
189                 break;
190             case SET CASCADE:
191                 cascadeEnabled = Serial.parseInt();
192                 succes = true;
193                 break;
194             case SET_LINE_PID:
195                 LKp = Serial.parseFloat();
196                 LKi = Serial.parseFloat();
197                 LKd = Serial.parseFloat();
198                 succes = true;
199                 break;
200             case SET_RIGHT_PID:
201         }
202     }
203 }

```

```

198     MKp_R = Serial.parseFloat();
199     MKi_R = Serial.parseFloat();
200     MKd_R = Serial.parseFloat();
201     succes = true;
202     break;
203 case SET_LEFT_PID:
204     MKp_L = Serial.parseFloat();
205     MKi_L = Serial.parseFloat();
206     MKd_L = Serial.parseFloat();
207     succes = true;
208     break;
209 case SET_PWM:
210 {
211     float l = Serial.parseFloat();
212     float r = Serial.parseFloat();
213     if (l != 0 && r != 0) {
214         pwmL = l;
215         pwmR = r;
216         succes = true;
217     } else {
218         succes = false;
219     }
220 }
221     break;
222 case SET_RPM:
223 {
224     float rl = Serial.parseFloat();
225     float rr = Serial.parseFloat();
226     targetRpmL = rl;
227     targetRpmR = rr;
228     succes = true;
229 }
230     break;
231 case SET_MODE:
232     currentMode = (OperationMode)Serial.parseInt();
233     if (currentMode == LINE_FOLLOWER && !calibrated)
234     {
235         calibrateSensors();
236     }
237     resetPIDAndSpeeds();
238     digitalWrite(STATUS_LED, currentMode == IDLE ?
239                 HIGH : LOW);
240     succes = true;
241     break;
242     default:
243         break;
244 }
245 if (succes) {
246     Serial.print("OK ");
247     Serial.println(cmd);
248 }

```

```

247     }
248
249     // Calcular RPMs cada 5 ms
250     if (now - lastRPMTIME >= ENCODER_SAMPLE_RATE_US) {
251         uint32_t dt = now - lastRPMTIME;
252         if (dt == 0) return;
253         lastRPMTIME = now;
254
255         static int32_t prevL = 0, prevR = 0;
256         noInterrupts();
257         int32_t dl = encL - prevL;
258         int32_t dr = encR - prevR;
259         prevL = encL;
260         prevR = encR;
261         interrupts();
262
263         currentRpmL = (dl * 60000000.0f / (float)PPR) / (float)dt
264             ;
265         currentRpmR = (dr * 60000000.0f / (float)PPR) / (float)dt
266             ;
267     }
268
269     // ----- Control de motores -----
270     switch (currentMode) {
271         case IDLE:
272             if (now - lastLoopTime >= LINE_SAMPLE_RATE_US) {
273                 lastLoopTime = now;
274                 currentPos = (float)readLinePosWeighted();
275             }
276             if (targetRpmL != 0 || targetRpmR != 0) {
277                 rpmErrL = targetRpmL - currentRpmL;
278                 rpmErrR = targetRpmR - currentRpmR;
279                 float pidOutL = pidSpeedL(targetRpmL, rpmErrL);
280                 float pidOutR = pidSpeedR(targetRpmR, rpmErrR);
281                 pwmL = BASE_PWM + pidOutL; // PWM = PWM + PID
282                 pwmR = BASE_PWM + pidOutR;
283             }
284             break;
285
286         case LINE_FOLLOWER:
287             if (now - lastLoopTime >= LINE_SAMPLE_RATE_US) {
288                 lastLoopTime = now;
289                 currentPos = (float)readLinePosWeighted();
290                 lineErr = LINE_CENTER - currentPos;
291                 lineOut = pidLine(LINE_CENTER, lineErr);
292
293                 if (cascadeEnabled) {
294                     // Usa cascade control para obtener PWM
295                     float rpmOffset = lineOut;
296                     targetRpmL = BASE_RPM + rpmOffset;
297                     targetRpmR = BASE_RPM - rpmOffset;

```

```

296
297     rpmErrL = targetRpmL - currentRpmL;
298     rpmErrR = targetRpmR - currentRpmR;
299
300     float pidOutL = pidSpeedL(targetRpmL, rpmErrL);
301     float pidOutR = pidSpeedR(targetRpmR, rpmErrR);
302
303     pwmL = BASE_PWM + pidOutL; // PWM = PWM +
304         PID
305     pwmR = BASE_PWM + pidOutR;
306 } else {
307     // Modo no-cascada: PWM directo
308     pwmL = BASE_PWM + lineOut;
309     pwmR = BASE_PWM - lineOut;
310 }
311
312     // Saturación intermedia
313     pwmL = constrain(pwmL, -PWM_MAX, PWM_MAX);
314     pwmR = constrain(pwmR, -PWM_MAX, PWM_MAX);
315 }
316
317     break;
318
319 default:
320     pwmL = 0;
321     pwmR = 0;
322     break;
323 }
324
325 setMotorsPWM(pwmL, pwmR);
326
327 // Debug cada 100 ms
328 if (now - lastDebugTime >= DEBUG_SAMPLE_RATE_US) {
329     lastDebugTime = now;
330     if (debugEnabled) {
331         String msg = String(now) + "," + String(currentPos) +
332             "," +
333                     String(currentRpmL) + "," + String(
334                         currentRpmR) + "," +
335                         String(lineOut) + "," + String(pwmL) +
336                         "," + String(pwmR);
337         Serial.println(msg);
338     }
339 }
340
341 // -----
342 // INICIALIZACION DE HARDWARE
343 // -----
344 void initHardware() {
345     pinMode(ML1, OUTPUT);
346     pinMode(ML2, OUTPUT);
347     pinMode(MR1, OUTPUT);

```

```

342     pinMode(MR2, OUTPUT);
343
344     pinMode(SENSOR_LED_PIN, OUTPUT);
345     digitalWrite(SENSOR_LED_PIN, HIGH);
346
347     pinMode(ENC_L_A, INPUT_PULLUP);
348     pinMode(ENC_R_A, INPUT_PULLUP);
349     pinMode(START_BUTTON, INPUT_PULLUP);
350     pinMode(STATUS_LED, OUTPUT);
351
352     attachInterrupt(digitalPinToInterrupt(ENC_L_A), isrLeftA,
353                     RISING);
353     attachInterrupt(digitalPinToInterrupt(ENC_R_A), isrRightA,
354                     RISING);
355
356     // Enable pin change interrupt for START_BUTTON (pin 8,
357     // PCINT0)
358     PCICR |= (1 << PCIE0);
359     PCMSK0 |= (1 << PCINT0);
360
361     for (int i = 0; i < SENSOR_COUNT; ++i) {
362         minSensor[i] = 1023;
363         maxSensor[i] = 0;
364         gainSensor[i] = 0.0f;
365         sensorValid[i] = false;
366     }
367
368     // ensure PWM pins start at 0
369     analogWrite(ML1, 0);
370     analogWrite(ML2, 0);
371     analogWrite(MR1, 0);
372     analogWrite(MR2, 0);
373
374     // Set PWM frequency to ~8kHz for quieter motor operation (
375     // Timer 1 and Timer 0)
376     // TCCR1B = (TCCR1B & 0xF8) | 0x01; // Timer 1 prescaler 1
377     // TCCROB = (TCCROB & 0xF8) | 0x01; // Timer 0 prescaler 1
378
379     // Optimize ADC for faster sensor readings (prescaler 16)
380     ADCSRA = (ADCSRA & 0xF8) | 0x04; // Set ADC prescaler to 16
381     // for ~77kHz sampling
382
383 // ----- CALIBRACION DE SENSORES
384 // -----
385 void calibrateSensors() {
386     digitalWrite(STATUS_LED, HIGH);
387     Serial.println("Calibrando sensores...");
388
389     for (int k = 0; k < CALIB_CYCLES; ++k) {
390         for (int i = 0; i < SENSOR_COUNT; ++i) {

```

```

387         int v = analogRead(SENSOR_PINS[i]);
388         if (v < minSensor[i]) minSensor[i] = v;
389         if (v > maxSensor[i]) maxSensor[i] = v;
390     }
391     if (k % 50 == 0) {
392         digitalWrite STATUS_LED, !digitalRead(STATUS_LED));
393     }
394     delay(10);
395 }
396
397 for (int i = 0; i < SENSOR_COUNT; ++i) {
398     int span = maxSensor[i] - minSensor[i];
399     if (span < SENSOR_MIN_SPAN) {
400         sensorValid[i] = false;
401         gainSensor[i] = 0.0f;
402     } else {
403         sensorValid[i] = true;
404         gainSensor[i] = 1000.0f / (float)span;
405     }
406 }
407
408 digitalWrite(STATUS_LED, LOW);
409 // impmire valores maximos y minimos
410 for (int i = 0; i < SENSOR_COUNT; ++i) {
411     Serial.print("Sensor ");
412     Serial.print(i);
413     Serial.print(" min: ");
414     Serial.print(minSensor[i]);
415     Serial.print(" max: ");
416     Serial.print(maxSensor[i]);
417     Serial.print(" gain: ");
418     Serial.println(gainSensor[i]);
419 }
420 Serial.println("Sensores calibrados.");
421 calibrated = true;
422 }
423
424 // ----- LEER POSICI N DE L NEA (ponderada)
425 -----
425 int readLinePosWeighted(bool debug) {
426     long weightedSum = 0;
427     long sum = 0;
428     if (debug) Serial.print("Lecturas: ");
429
430     for (int i = 0; i < SENSOR_COUNT; ++i) {
431         int raw = analogRead(SENSOR_PINS[i]);
432         if (!sensorValid[i]) continue;
433
434         if (debug) {
435             Serial.print(raw);
436             Serial.print(" ");

```

```

437     }
438
439     int val = (int)((float)raw - (float)minSensor[i]) *
440         gainSensor[i] + 0.5f);
441     if (debug) {
442         Serial.print(val);
443         Serial.print(" ");
444     }
445
446     if (val < 0) val = 0;
447     else if (val > 1000) val = 1000;
448
449     weightedSum += (long)val * (long)weights[i];
450     sum += val;
451 }
452
453 if (sum == 0) return 0;
454 int pos = (int)(weightedSum / sum);
455 if (debug) {
456     Serial.print("Pos: ");
457     Serial.println(pos);
458 }
459 return pos;
460 }
461 // -----
462 float pidLine(float reference, float error) {
463     lineErr = error;
464     float der = lineErr - linePrev;
465     lineInt += lineErr;
466
467     if (lineInt > LINE_INT_CLAMP) lineInt = LINE_INT_CLAMP;
468     else if (lineInt < -LINE_INT_CLAMP) lineInt = -LINE_INT_CLAMP
469         ;
470
471     float out = LKp * lineErr + LKi * lineInt + LKd * der;
472     linePrev = lineErr;
473 }
474
475 // -----
476 float pidSpeedL(float reference, float error) {
477     rpmErrL = error;
478     float der = rpmErrL - velPrevL;
479     velIntL += rpmErrL;
480
481     if (velIntL > VEL_INT_CLAMP) velIntL = VEL_INT_CLAMP;
482     else if (velIntL < -VEL_INT_CLAMP) velIntL = -VEL_INT_CLAMP;
483 }
```

```

484     float out = MKp_L * rpmErrL + MKi_L * velIntL + MKd_L * der;
485     velPrevL = rpmErrL;
486     return out;
487 }
488
489 // ----- PID VELOCIDAD DERECHA
490 // -----
490 float pidSpeedR(float reference, float error) {
491     rpmErrR = error;
492     float der = rpmErrR - velPrevR;
493     velIntr += rpmErrR;
494
495     if (velIntr > VEL_INT_CLAMP) velIntr = VEL_INT_CLAMP;
496     else if (velIntr < -VEL_INT_CLAMP) velIntr = -VEL_INT_CLAMP;
497
498     float out = MKp_R * rpmErrR + MKi_R * velIntr + MKd_R * der;
499     velPrevR = rpmErrR;
500     return out;
501 }
502
503 // ----- CONTROL DE MOTORES
504 // -----
504 void setMotorsPWM(float leftPWM, float rightPWM) {
505     leftPWM = constrain(leftPWM, -PWM_MAX, PWM_MAX);
506     rightPWM = constrain(rightPWM, -PWM_MAX, PWM_MAX);
507
508     if (leftPWM >= 0) {
509         analogWrite(ML1, leftPWM);
510         analogWrite(ML2, 0);
511     } else {
512         analogWrite(ML1, 0);
513         analogWrite(ML2, -leftPWM);
514     }
515
516     if (rightPWM >= 0) {
517         analogWrite(MR1, rightPWM);
518         analogWrite(MR2, 0);
519     } else {
520         analogWrite(MR1, 0);
521         analogWrite(MR2, -rightPWM);
522     }
523 }
524
525 void resetPIDAndSpeeds() {
526     // reset speeds
527     currentRpml = 0.0f;
528     currentRpmR = 0.0f;
529     targetRpml = 0.0f;
530     targetRpmR = 0.0f;
531     pwmL = 0.0f;
532     pwmR = 0.0f;

```

```

533     lineOut = 0.0f;
534
535     // reset PID line
536     lineErr = 0.0f;
537     lineInt = 0.0f;
538     linePrev = 0.0f;
539
540     // reset PID speed L
541     rpmErrL = 0.0f;
542     velPrevL = 0.0f;
543     velIntL = 0.0f;
544
545     // reset PID speed R
546     rpmErrR = 0.0f;
547     velPrevR = 0.0f;
548     velIntR = 0.0f;
549
550     currentPos = 0.0f;
551 }
```

5.30 Análisis del efecto windup

Definición y Naturaleza del Fenómeno: El efecto wind-up, también conocido como "saturación integral".^{en}rollamiento integral", constituye un fenómeno no lineal que se manifiesta en controladores con acción integral cuando la señal de control alcanza los límites físicos de saturación del actuador. Este fenómeno representa una de las patologías más comunes en sistemas de control industrial y puede comprometer severamente el desempeño del sistema e incluso llevar a la inestabilidad.

6 Resultados Experimentales

Cuadro 4: Comparativa ajuste local vs remoto



Figura 8: Respuesta comparativa: P, PI y PID

6.1 Análisis de datos reales del sistema

Se recopilaron datos reales del sistema operativo mediante la salida de depuración serial del Arduino, registrando variables clave cada 100 ms. Los datos incluyen tiempo, posición de línea, RPM de motores izquierdo y derecho, salida del PID de línea, y PWM de motores.

Gráficas de desempeño:

- Posición de la línea vs tiempo: muestra la estabilidad del seguimiento.
- RPM de motores: indica la respuesta de velocidad.
- Salida PID de línea: refleja la corrección aplicada.
- PWM de motores: energía entregada.

Cálculos de desempeño fundamentados:

- MSE de posición: mide el error cuadrático medio respecto a la referencia (línea central).
- Desviación estándar de RPM: cuantifica la variabilidad de velocidad.
- Energía promedio PWM: estima el consumo energético.

Validación con modelo: Se compara la respuesta real con la simulación del modelo identificado, ajustando por la entrada PWM promedio.

Ver archivo `analisis_datos.m` en anexos para el procesamiento de datos y gráficas.

7 Conclusiones

- ✓ Se logró **seguimiento estable** de línea a 1.8 m/s
- ✓ **Ajuste remoto vía Bluetooth** funciona sin pérdida de datos ni latencias críticas
- ✓ **App Flutter** permite sintonización rápida en pista sin re-programar Arduino

- ✓ Chasis PVC + fibra de carbono 3D y configuración **triciclo** aportan ligereza y estabilidad

8 Recomendaciones

- 1 Implementar **autosintonización** (Relay o Ziegler-Nichols en tiempo real)
- 2 Migrar a **BLE** para mayor alcance y menor consumo
- 3 Agregar **data-logger** en SD para análisis post-prueba

9 Bibliografía

Referencias

- [1] K. Ogata, *Ingeniería de Control Moderna*, 5. ed., Pearson, 2010.
- [2] G. Franklin, *Control de Sistemas Dinámicos*, 3. ed., Addison-Wesley, 2006.
- [3] Pololu, *QTR-8A Datasheet*, 2024.
- [4] Arduino, *Reference Manual*, 2024.

ANEXOS

1. `server.zip` – Proyecto completo:

- `src/main.cpp` – Control en cascada PID con anti-windup
- `platformio.ini` – configuración de placa y baudios

2. Carpeta `matlab/` – Scripts MATLAB utilizados:

- `analisis_datos.m` – análisis de datos reales y gráficas de desempeño
- `bode.m` – análisis en frecuencia y diagramas de Bode
- `m_pid.m` – simulación de controladores PID
- `modelo_continuo.m` – modelo continuo de la planta
- `modelo_discreto.m` – discretización y lugar de raíces
- `pid.m` – sintonización PID
- `rlocus_continuo.m` – ajuste de K mediante lugar de raíces continuo
- `validacion.m` – validación del modelo

.1 Códigos MATLAB

```
1 % An lisis de Datos Reales del Sistema
2 clc; clear; close all;
3
4 % Leer datos del archivo CSV
5 data = readtable('data.csv');
6
7 % Extraer columnas
8 time = data.time / 1e6; % Convertir de microsegundos a segundos
9 pos = data.pos;
10 rpmL = data.rpmL;
11 rpmR = data.rpmR;
12 lineOut = data.lineOut;
13 pwmL = data.pwmL;
14 pwmR = data.pwmR;
15
16 % Ajustar tiempo relativo al inicio
17 time = time - time(1);
18
19 % Gr fica 1: Posici n de la lnea vs tiempo
20 figure;
21 plot(time, pos);
22 title('Posici n de la lnea vs Tiempo');
23 xlabel('Tiempo [s]');
24 ylabel('Posici n [unidades]');
25 grid on;
26
27 % Gr fica 2: RPM de motores izquierdo y derecho vs tiempo
28 figure;
```

```

29 plot(time, rpmL, 'b-', time, rpmR, 'r--');
30 title('RPM de Motores vs Tiempo');
31 xlabel('Tiempo [s]');
32 ylabel('RPM');
33 legend('Izquierdo', 'Derecho');
34 grid on;
35
36 % Gr fica 3: Salida del PID de lanea vs tiempo
37 figure;
38 plot(time, lineOut);
39 title('Salida del PID de lanea vs Tiempo');
40 xlabel('Tiempo [s]');
41 ylabel('Salida PID');
42 grid on;
43
44 % Gr fica 4: PWM de motores vs tiempo
45 figure;
46 plot(time, pwmL, 'b-', time, pwmR, 'r--');
47 title('PWM de Motores vs Tiempo');
48 xlabel('Tiempo [s]');
49 ylabel('PWM');
50 legend('Izquierdo', 'Derecho');
51 grid on;
52
53 % C lculos de desempe o
54 % Error de posici n (asumiendo referencia 0)
55 error_pos = pos - 0;
56 mse_pos = mean(error_pos.^2);
57 fprintf('MSE de posici n: %.4f\n', mse_pos);
58
59 % Variabilidad de RPM
60 std_rpmL = std(rpml);
61 std_rpmR = std(rpmR);
62 fprintf('Desviaci n est ndar RPM Izquierdo: %.4f\n', std_rpmL);
63 fprintf('Desviaci n est ndar RPM Derecho: %.4f\n', std_rpmR);
64
65 % Energ a PWM (aproximaci n)
66 energia_pwmL = sum(abs(pwmL)) / length(pwmL);
67 energia_pwmR = sum(abs(pwmR)) / length(pwmR);
68 fprintf('Energ a promedio PWM Izquierdo: %.4f\n', energia_pwmL);
69 fprintf('Energ a promedio PWM Derecho: %.4f\n', energia_pwmR);
70
71 % Validaci n con modelo
72 % Usar el modelo continuo para comparar
73 num = 1650;
74 den = [1 330 140];
75 G = tf(num, den);
76
77 % Simular respuesta con entrada PWM promedio

```

```

78 pwm_promedio = mean((pwmL + pwmR)/2);
79 t_sim = 0:0.01:max(time);
80 [y_sim, t_sim] = step(pwm_promedio * G, t_sim);
81
82 figure;
83 plot(time, (rpmL + rpmR)/2, 'b-', t_sim, y_sim, 'r--');
84 title('Comparaci n Modelo vs Datos Reales');
85 xlabel('Tiempo [s]');
86 ylabel('RPM Promedio');
87 legend('Datos Reales', 'Modelo Simulado');
88 grid on;

```

```

1 figure;
2 bode(Gz);
3 title('Diagrama de Bode - Sistema discreto');
4 grid on;

```

```

1 % Par metros PID
2 Kp = 1.2;
3 Ki = 0.05;
4 Kd = 0.08;
5 T = 0.05;
6
7 % Controlador PID discreto
8 C = pid(Kp, Ki, Kd, 'Ts', T);
9
10 % Lazo cerrado
11 sys_cl = feedback(C * Gz, 1);
12
13 % Respuesta al escal n
14 figure;
15 step(sys_cl, 1);
16 title('Respuesta al escal n - Lazo cerrado con PID');
17 xlabel('Tiempo [s]');
18 ylabel('Velocidad [m/s]');
19 grid on;

```

```

1 % Modelo continuo del motor (segundo orden identificado)
2 clc; clear; close all;
3
4 num = 1650;
5 den = [1 330 140];
6 G = tf(num, den);
7
8 % Respuesta al escal n
9 figure;
10 step(G, 1);
11 title('Respuesta al escal n - Modelo continuo (segundo orden)');
12 xlabel('Tiempo [s]');
13 ylabel('Velocidad [rad/s]');

```

```

14 grid on;

1 % Modelo discreto
2 T = 0.05; % Periodo de muestreo
3 Gz = c2d(G, T, 'zoh');
4
5 figure;
6 rlocus(Gz);
7 title('Lugar de las raices - Sistema discreto');
8 grid on;

1 % Parametros PID
2 Kp = 1.2;
3 Ki = 0.05;
4 Kd = 0.08;
5 T = 0.05;
6
7 % Controlador PID discreto
8 C = pid(Kp, Ki, Kd, 'Ts', T);
9
10 % Lazo cerrado
11 sys_cl = feedback(C * Gz, 1);
12
13 % Respuesta al escalón
14 figure;
15 step(sys_cl, 1);
16 title('Respuesta al escalón - Lazo cerrado con PID');
17 xlabel('Tiempo [s]');
18 ylabel('Velocidad [m/s]');
19 grid on;

1 % Lugar Geométrico de las Raíces - Sistema Continuo para
2 % Ajuste de K
3 clc; clear; close all;
4
5 % Función de transferencia de la planta (modelo identificado)
6 num = 1650;
7 den = [1 330 140];
8 G = tf(num, den);
9
10 % Dibujar el lugar de raíces
11 figure;
12 rlocus(G);
13 title('Lugar Geométrico de las Raíces - Sistema Continuo');
14 xlabel('Parte Real');
15 ylabel('Parte Imaginaria');
16 grid on;
17
18 % Agregar líneas de diseño: zeta = 0.5 (sobre paso ~7%), wn =
20 rad/s (ts ~0.4s)
19 sgrid(0.5, 20);

```

```

19
20 % Encontrar el valor de K en el punto deseado
21 % Usar rlocfind para seleccionar el punto donde zeta >=0.5 y wn
22 % ~20
23 [K, poles] = rlocfind(G);
24
25 % Mostrar resultados
26 fprintf('Valor de K seleccionado: %.4f\n', K);
27 fprintf('Polos en lazo cerrado: %.4f + %.4fj, %.4f - %.4fj\n',
28     real(poles(1)), imag(poles(1)), real(poles(2)), imag(poles(2))
29 );
30
31 % Simular respuesta al escalón con el K obtenido
32 sys_cl = feedback(K * G, 1);
33 figure;
34 step(sys_cl);
35 title('Respuesta al Escalón - Sistema en Lazo Cerrado con K Ajustado');
36 xlabel('Tiempo [s]');
37 ylabel('Velocidad [rad/s]');
38 grid on;
39
40 % Calcular sobrepaso y tiempo de establecimiento
41 info = stepinfo(sys_cl);
42 fprintf('Sobrepaso: %.2f%%\n', info.Overshoot);
43 fprintf('Tiempo de establecimiento (2%): %.4f s\n', info.
44     SettlingTime);

```

```

1 % Datos experimentales (ejemplo)
2 tiempo_real = [0 0.05 0.1 0.2 0.3 0.4 0.5 0.6 0.7 0.8];
3 velocidad_real = [0 0.08 0.15 0.25 0.32 0.36 0.38 0.39 0.39
4 0.39];
5
6 % Simulación modelo
7 t = 0:0.01:0.8;
8 u = ones(size(t)) * 3; % Escalón de 3V
9 y = lsim(G, u, t);
10
11 figure;
12 plot(tiempo_real, velocidad_real, 'ro', 'DisplayName', 'Real');
13 hold on;
14 plot(t, y, 'b-', 'DisplayName', 'Modelo');
15 title('Validación: Modelo vs Real');
16 xlabel('Tiempo [s]');
17 ylabel('Velocidad [m/s]');
18 legend show;
19 grid on;

```

3. Hojas de datos técnicos: datasheets.pdf

4. Reporte fotográfico: fotos.pdf

5. Video de pruebas (2 min): prueba_velocista.mp4